

Fig.3.10a-Caracteristica de transfer

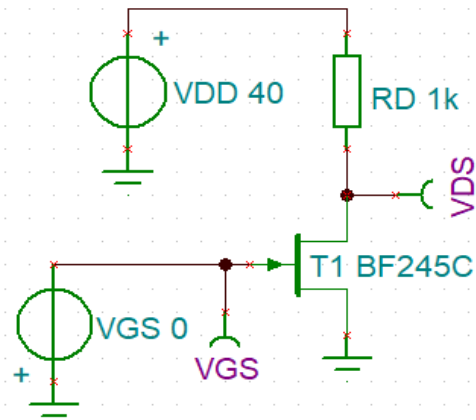


Fig.3.10b-Caracteristicile de ieșire

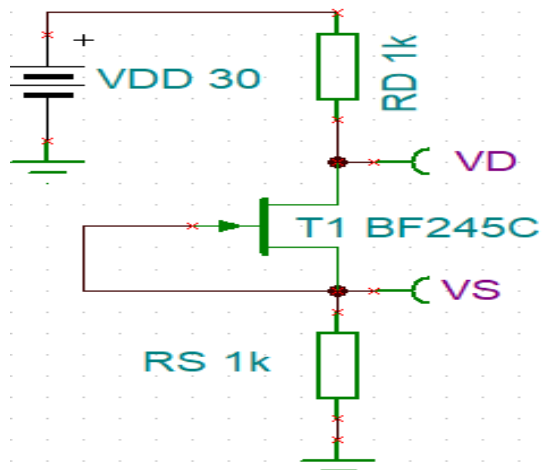


Fig.3.13 - TEC-J Generator de curent

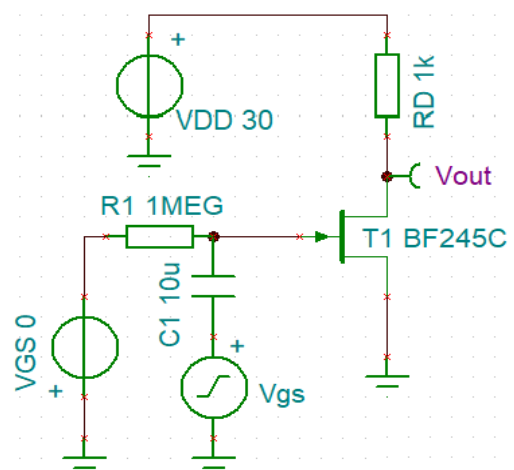


Fig.3.14 - Regimul dinamic

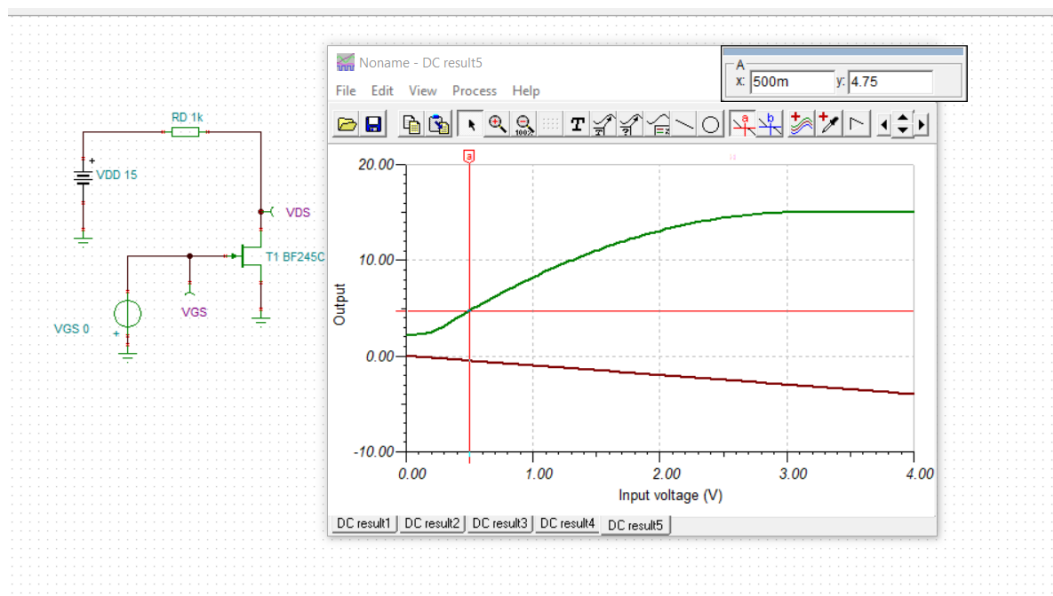
Cele patru figuri de mai sus reprezinta schemele realizate in programul de simulare TINA-TI pentru determinarile aferente tabelelor din fisa de rezultate.

## FIȘĂ REZULTATE LUCRARE L5 TEC-J\_SOFT-HARD

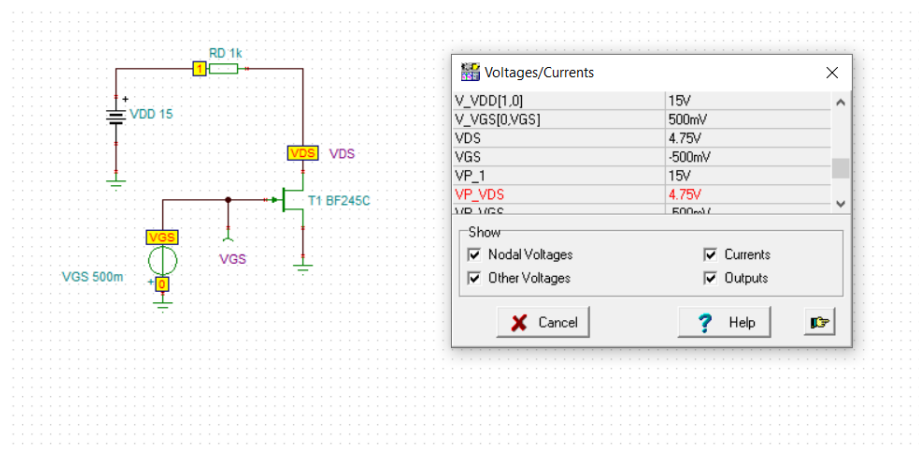
## 1. Caracteristica de transfer

5p. Tabelul 3.1 (fig.3.10a)

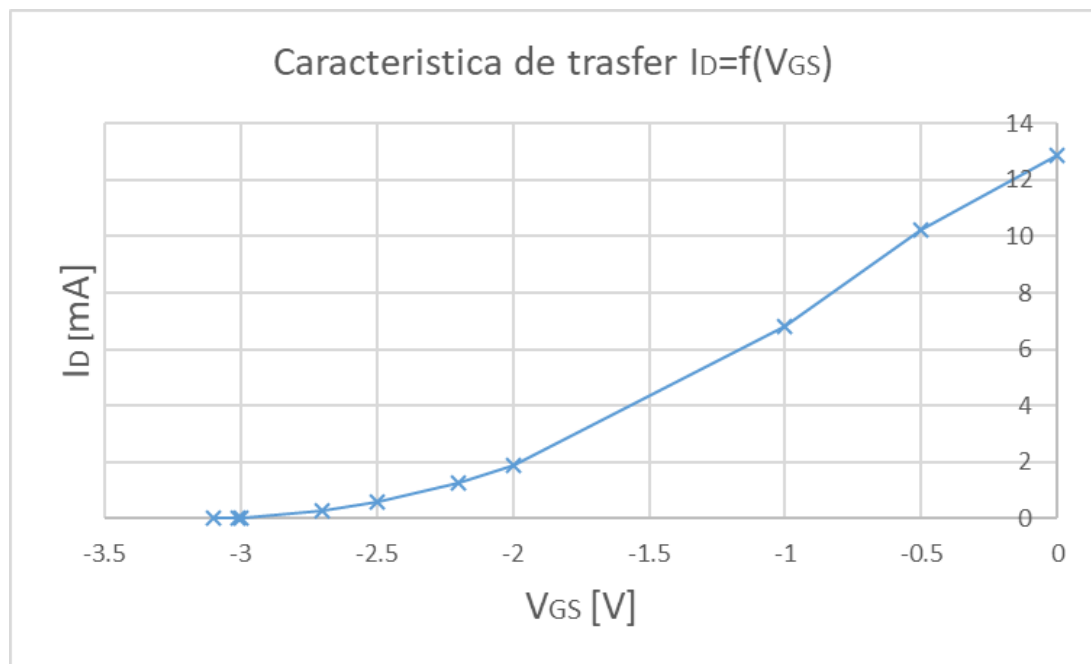
$V_{GS}$ [V]	0	-0,5	-1	-2	-2,2	-2,5	-2,7	-3	-3,01	-3,1
$V_{DD}$ V	15	15	15	15	15	15	15	15	15	15
$V_{DS}$ V	2.11	4.75	8.21	13.1	13.72	14.43	14.75	14.98	14.99	15
$R_D=R_{I2}$ [K $\Omega$ ]	1k	1k	1k	1k	1k	11k	11k	11k	11k	11k
$I_D$ [mA]	12.89	10.25	6.79	1.9	1.28	0.57	0.25	0.02	0.01	0

Curentul  $I_D = (V_{DD} - V_{DS}) / R_D$ 

VDS

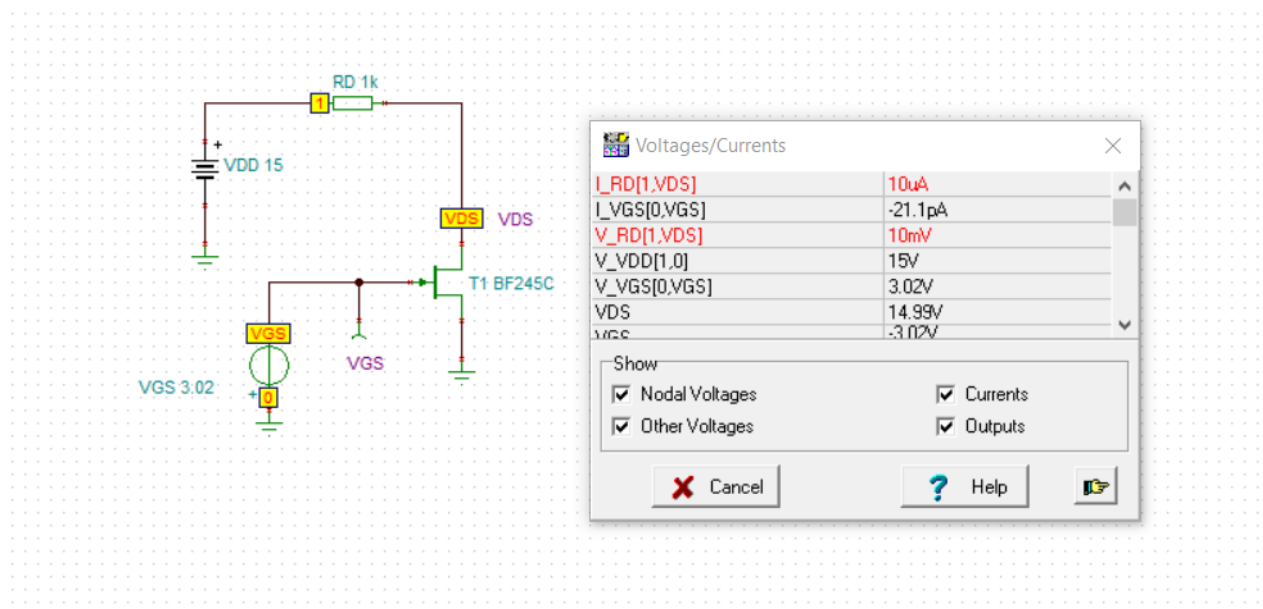


**T1-2p.** Inerați graficul caracteristici de transfer  $I_D=f(V_{GS})$  a tranzistorului TEC-J.



**T2-1p.** Determinați pe simulări tensiunea de prag la  $10\mu A$  a tranzistorului TEC-J.

Tensiunea de prag la  $10\mu A$  este  $V_{GS} = -3.0212\text{ V}$ .

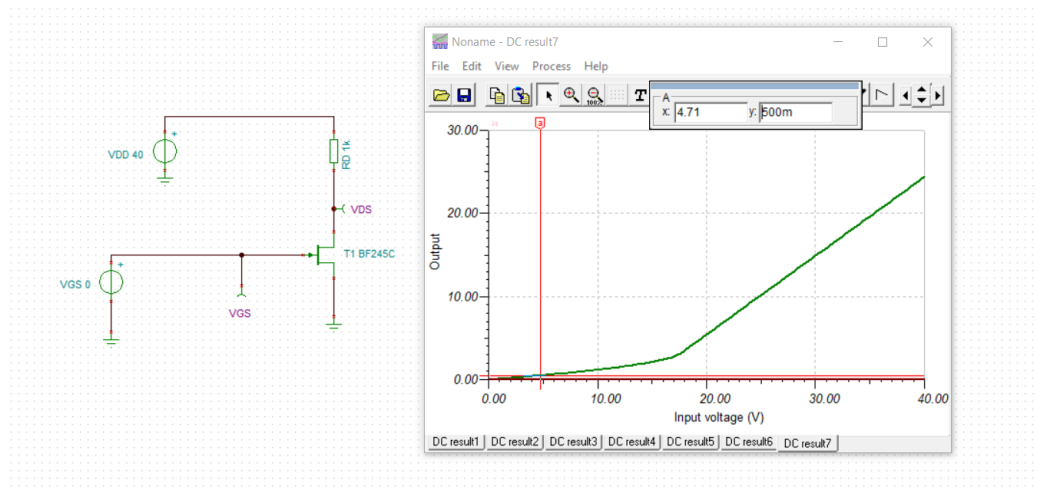


## 2. Caracteristica de ieşire

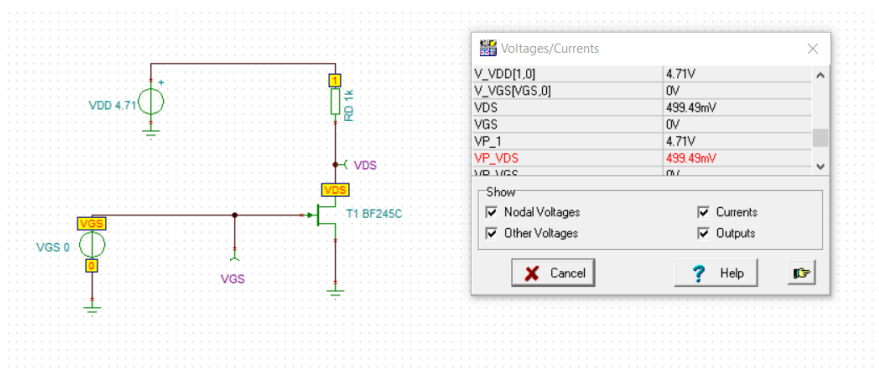
5p. Tabelul 3.2 (Fig.3.10b)

$V_{DS}$ [V]		0	0.5	0.6	0.8	1	1.5	2	4
$V_{GS}=0$ [V]	$V_{DS,m\acute{a}s}$ [V]	0	0.5	0.6	0.8	1	1.5	2	4
	$V_{DD}$ [V]	0	4.71	5.57	7.2	8.71	12	14.54	18.51
	$R_{12}+R_{J22}$ [K $\Omega$ ]	1k	1k	1k	1k	1k	1k	1k	1k
	$I_D$ [mA]	0	4.21	4.97	6.4	7.71	10.5	12.54	14.51
$V_{GS}=-0,5$ [V]	$V_{DS,m\acute{a}s}$ [V]	0	0.5	0.6	0.8	1	1.5	2	4
	$V_{DD}$ [V]	0	3.99	4.7	6.03	7.25	9.78	11.59	14.22
	$R_{12}+R_{J22}$ [K $\Omega$ ]	1k	1k	1k	1k	1k	1k	1k	1k
	$I_D$ [mA]	0	3.49	4.1	5.23	6.25	8.28	9.59	10.22
$V_{GS}=-1$ [V]	$V_{DS,m\acute{a}s}$ [V]	0	0.5	0.6	0.8	1	1.5	2	4
	$V_{DD}$ [V]	0	3.25	3.81	4.85	5.77	7.56	8.58	10.68
	$R_{12}+R_{J22}$ [K $\Omega$ ]	1k	1k	1k	1k	1k	1k	1k	1k
	$I_D$ [mA]	0	2.75	3.21	4.05	4.77	6.06	6.58	6.68
$V_{GS}=-2$ [V]	$V_{DS,m\acute{a}s}$ [V]	0	0.5	0.6	0.8	1	1.5	2	4
	$V_{DD}$ [V]	0	1.77	2.03	2.47	2.8	3.32	3.83	5.84
	$R_{12}+R_{J22}$ [K $\Omega$ ]	1k	1k	1k	1k	1k	1k	1k	1k
	$I_D$ [mA]	0	1.27	1.43	1.67	1.8	1.82	1.83	1.54
$V_{GS}=-2,2$ [V]	$V_{DS,m\acute{a}s}$ [V]	0	0.5	0.6	0.8	1	1.5	2	4
	$V_{DD}$ [V]	0	11.22	12.48	14.01	14.41	14.93	15.46	17.56
	$R_{12}+R_{J22}$ [K $\Omega$ ]	11k	11k	11k	11k	11k	11k	11k	11k
	$I_D$ [mA]	0	0.974	1.08	1.2	1.219	1.22	1.223	1.232
$V_{GS}=-2,5$ [V]	$V_{DS,m\acute{a}s}$ [V]	0	0.5	0.6	0.8	1	1.5	2	4
	$V_{DD}$ [V]	0	6.26	6.49	6.75	6.97	7.48	7.99	10.04
	$R_{12}+R_{J22}$ [K $\Omega$ ]	11k	11k	11k	11k	11k	11k	11k	11k
	$I_D$ [mA]	0	0.523	0.535	0.54	0.542	0.543	0.544	0.549
$V_{GS}=-3$ [V]	$V_{DS,m\acute{a}s}$ [V]	0	0.5	0.6	0.8	1	1.5	2	4
	$V_{DD}$ [V]	0	0.667	0.767	0.967	1.17	1.67	2.17	4.17
	$R_{12}+R_{J22}$ [K $\Omega$ ]	11k	11k	11k	11k	11k	11k	11k	11k
	$I_D$ [mA]	0	0.015	0.015	0.015	0.0154	0.0154	0.0154	0.0154

$R_{12}+R_{J22}$  este  $R_D$  din circuit, iar in tabel  $V_{DS,m\acute{a}s} = V_{DS}$ ;  $I_D = (V_{DD} - V_{DS}) / R_D$

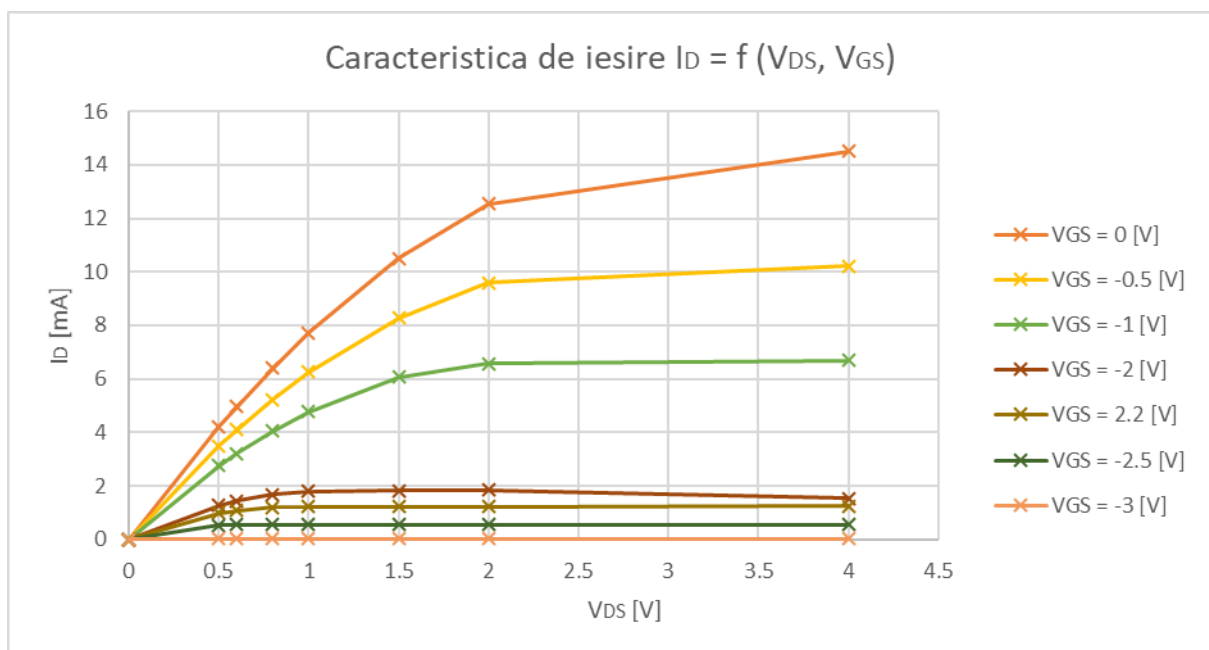


$V_{DD}$



$V_{DS,mas}$

**T3-3p.** Inserați graficul caracteristici de ieșire  $I_D = f(V_{DS}, V_{GS})$ ;  $V_{GS}$  - parametru.

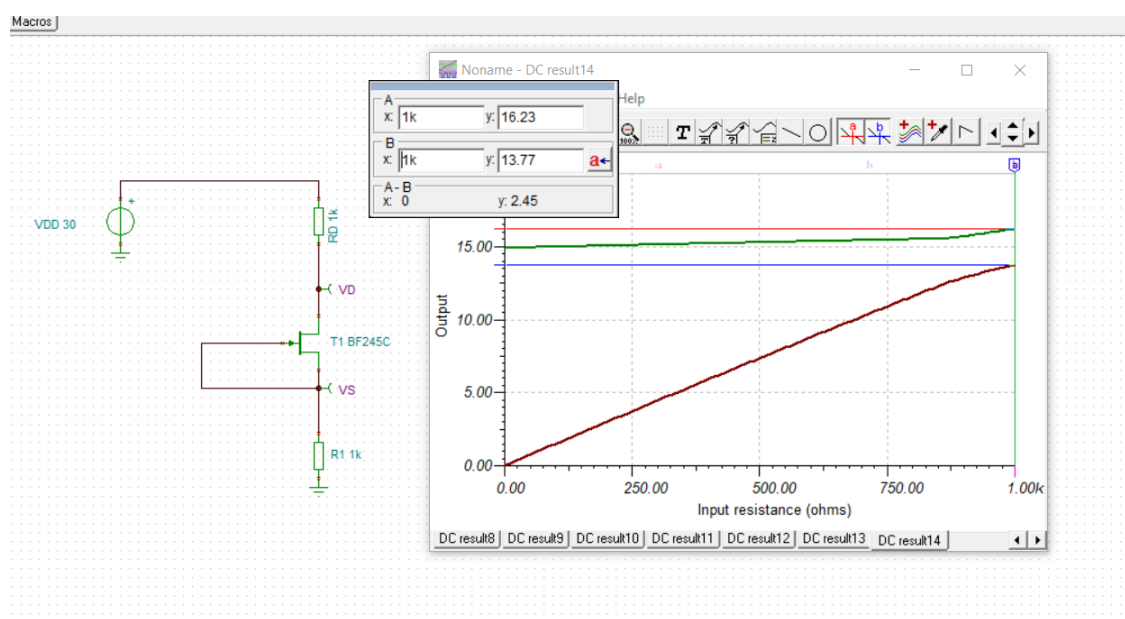


### 3. TEC-J ca generator de curent

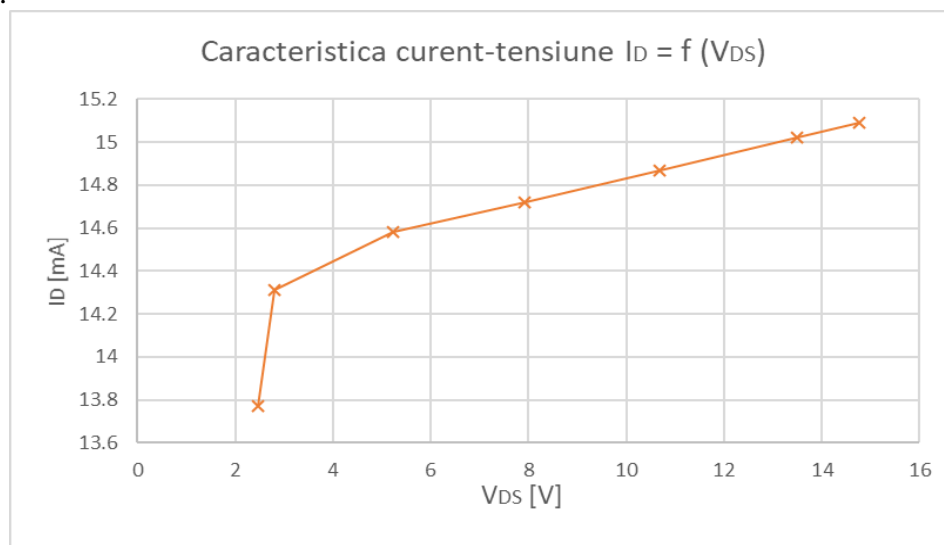
5p. Tabelul 3.4 (Fig.3.13)

$R_s$ [ $\Omega$ ]	10	100	300	500	700	900	1k
$V_D$ [V]	14,91	14,98	15.13	15.28	15.42	15.69	16.23
$V_s$ [V]	0,151	1,5	4.46	7.36	10.2	12.88	13.77
$V_{DD}$ [V]	30	30	30	30	30	30	30
$V_{DS}$ [V]	14,76	13,48	10.67	7.92	5.22	2.81	2.46
$V_{GS}$ [V]	0	0	0	0	0	0	0
$I_D$ [mA]	15,09	15,02	14.87	14.72	14.58	14.31	13.77

$I_D = (V_{DD} - V_D) / R_D$  si  $V_{DS} = V_D - V_s$



**T4-2p.** Insearați graficul variației lui  $I_D$  funcție de  $V_{DS}$  ( $I_D = f(V_{DS})$  - caracteristica curent-tensiune).

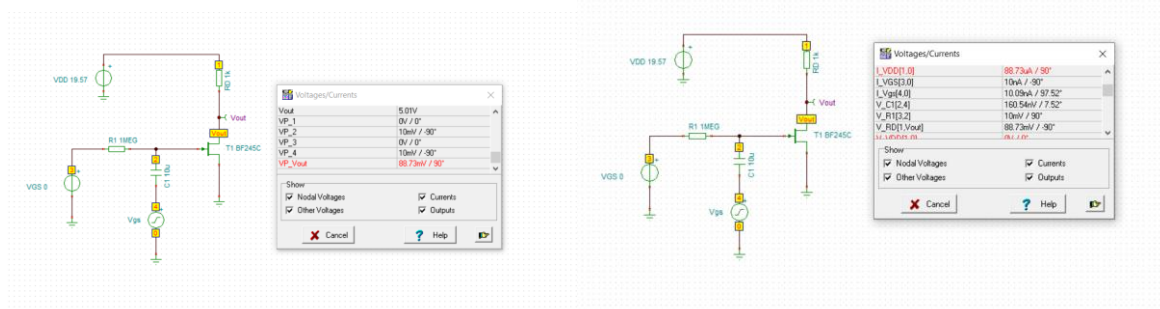
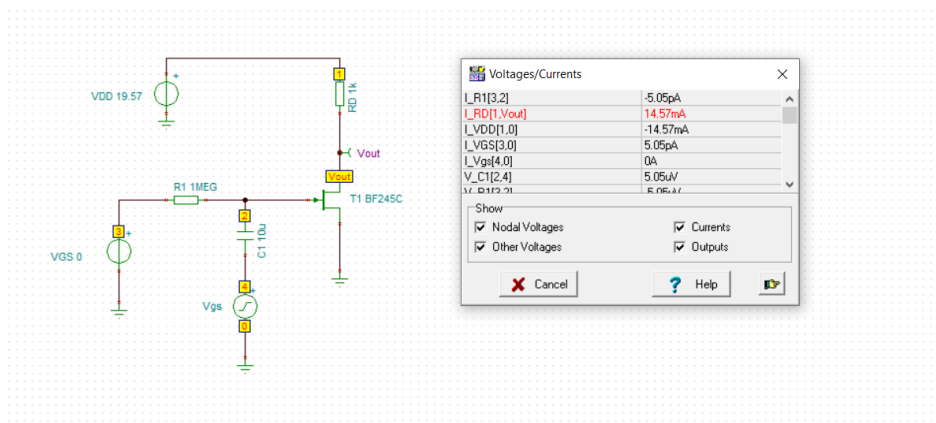
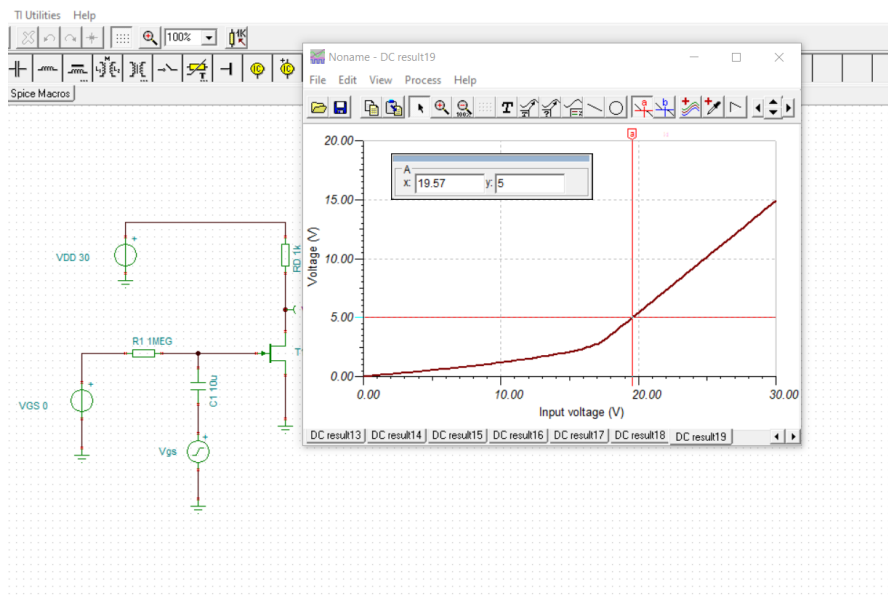


## 4.1 Măsurători in regim dinamic

**5p Tabelul 3.6** ( Fig.3.14) condiția de cc:  $V_{DS} = 5V$  ( $V_{out}$  in circuitul din figura)

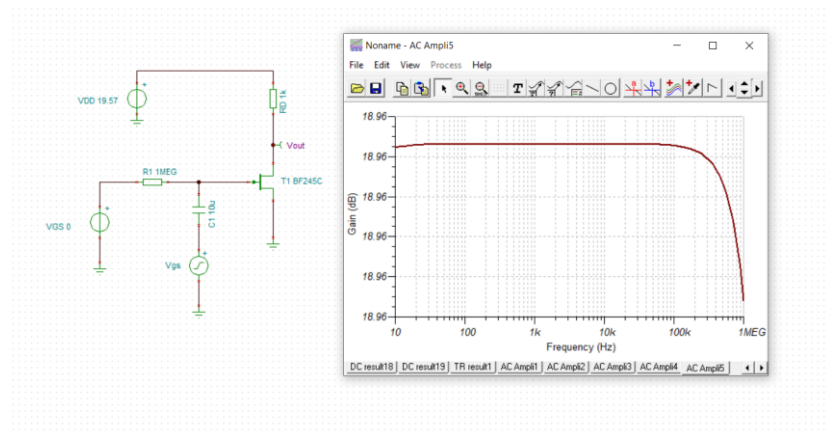
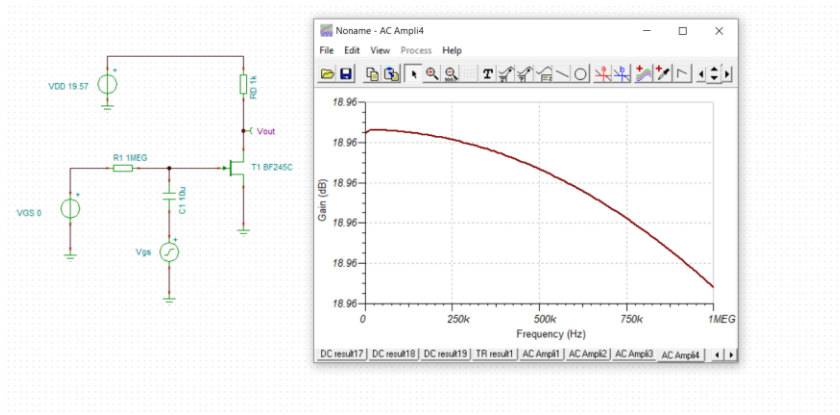
$V_{GS}$ [V]	0	-0.5	-1	-1,5	-2	-2.5
$I_D$ [mA]	14.57	10.26	6.9	4.06	1,94	0.5794
$V_{out}$ [mV]	88.73	76.89	63.86	49.78	34.83	19.24
$V_{gs}$ [mV]	10	10	10	10	10	10
$I_d$ [μA]	88.73	76.89	63.86	49.78	34.83	19.24
$A_v$	8.873	7.689	6.836	4.978	3.483	1.924
$g_{ms}$ [mA/V]	-8.873	-7.689	-6.836	-4.978	-3.483	-1.924

$$A_v = \frac{V_o}{V_i} = -g_{ms} \cdot R_D \text{ (in c.a. } v_o = V_{out} \text{ iar } v_i = V_{gs}); V_{gs}\text{-semnal sinusoidal, } A=10mV, f=1kHz$$



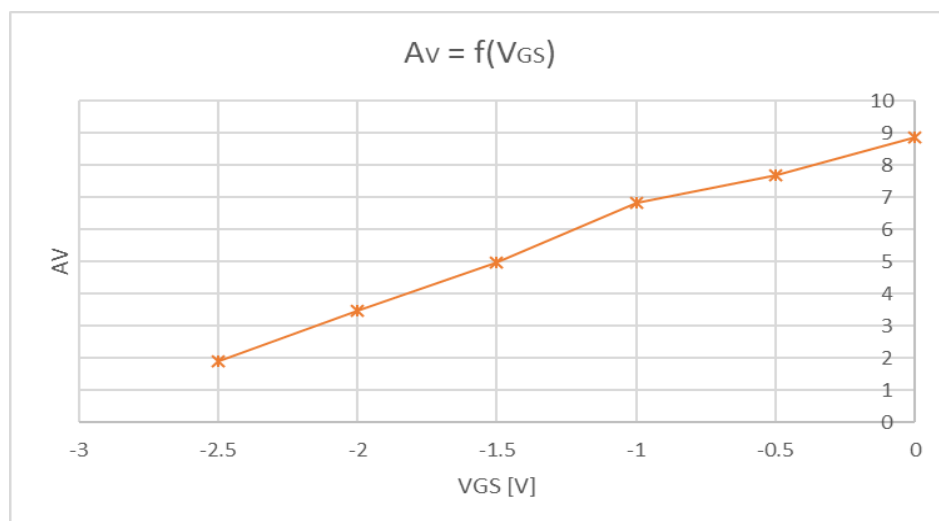
**T5-2p.** Inserați simularea amplificatorului sursă comună pentru o valoare  $V_{GS}$  aleasa din tabelul 3.6,  $V_{GS}=10\text{mV}$  și  $V_{DS}=5\text{V}$  și calculați amplificarea si  $g_{ms}$ , apoi înserați graficele:  $A_v=f(V_{GS})$  si  $A_v=f(I_D)$ .

$V_{GS} = -0.5 \text{ V}$

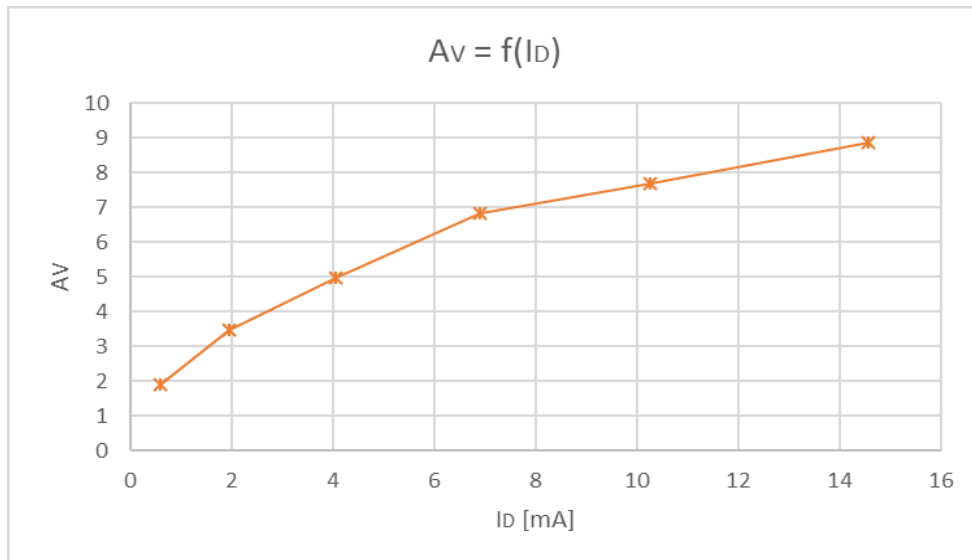


$A_v=7,69$

$g_m=-7,69 \text{ mA/V}$





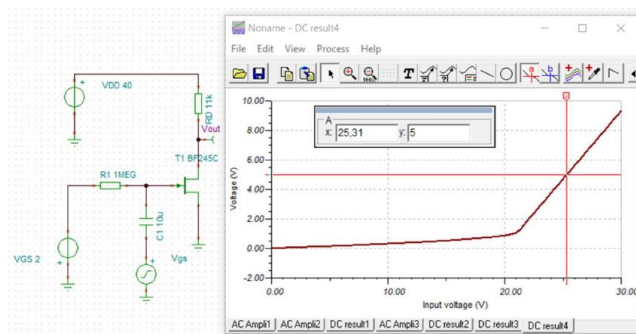


**4.2 Măsurători rezistența dinamică în saturație  $r_{d,sat}$**  (Atenție!! Cond. în cc:  $V_{DS} = V_{out} = 5V$  cu  $V_{GS} = -2V$  valoare fixă, pt ambele valori ale lui  $R_D$ )

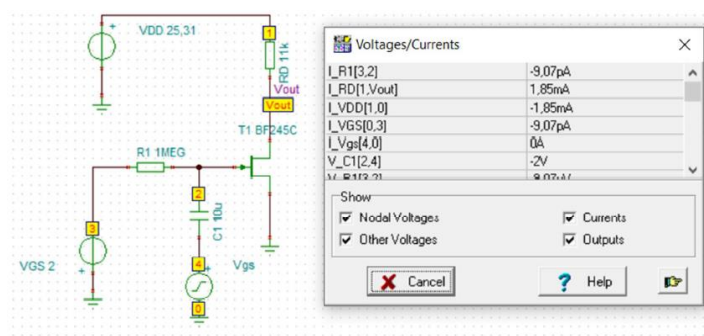
**5p Tabel 3.5** (Fig.3.14)

<b>RD</b>	<b>11k</b>	<b>22k</b>
$I_D$ [mA]	1.85	1.85
$V_{ds} = V_{out}$ [mV]	342,61	640.26
$V_{gs}$ [mV]	10	10
$r_{d,sat}$	156.69k $\Omega$	

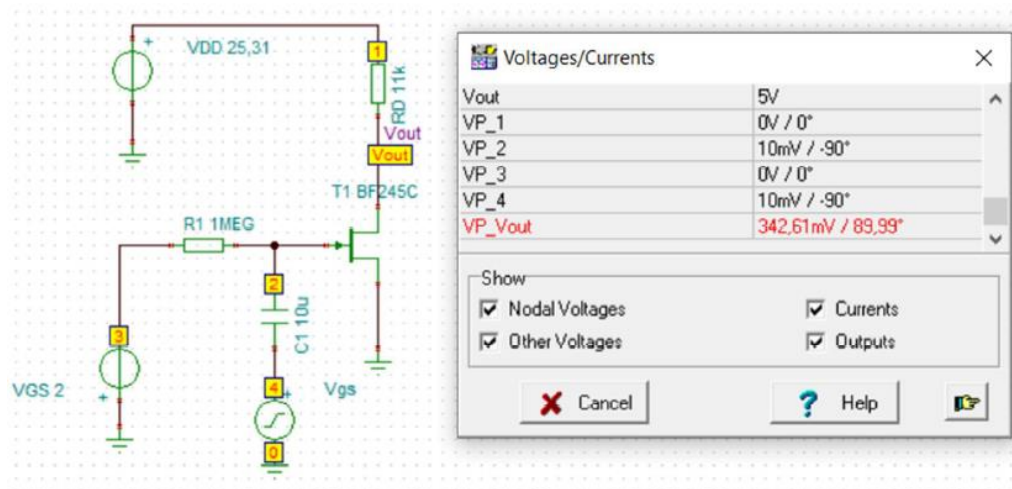
$V_{DD}$



$I_D$



$V_{ds}$



Se calculează apoi:

$$r_{d,sat} = \frac{1}{g_{d,sat}} = \frac{R_{D2} - R_{D1}}{\frac{R_{D2} \times V_{ds1}}{R_{D1} \times V_{ds2}} - 1}$$

$$r_{d,sat} = \frac{R_{D2} - R_{D1}}{\frac{R_{D2} \times V_{ds1}}{R_{D1} \times V_{ds2}} - 1} = \frac{(22-11) \cdot 10^3}{\frac{22 \cdot 842,61}{11 \cdot 640,26} - 1} = \frac{11 \cdot 10^3}{\frac{7537,42}{2042,86} - 1} = \frac{11}{0,0702} \cdot 10^3 = 156,69 \text{ K}\Omega.$$